

Fig 25

FIGURA 25

Ontogenia de Péptidos en células hipofisarias.

a.- Sección horizontal de la hipófisis de un ratón adulto que muestra la presencia de numerosas células Gal-ir en el lóbulo anterior (HRP-CI-Naftol 200x).

b.- Sección sagital de la hipófisis de un posnatal en el estadio P.5 que muestra la presencia de las primeras células Gal-ir (➤) en el lóbulo anterior (HRP-CI-Naftol 160x).

c.- Sección horizontal de la hipófisis de un ratón adulto que muestra la presencia de numerosas células VIP-ir en el lóbulo anterior (HRP-CI-Naftol 200x).

d.- Sección sagital de la hipófisis de un posnatal en el estadio P.5 que muestra la presencia de las primeras células VIP-ir (➤) en el lóbulo anterior (HRP-CI-Naftol 160x).

e.- Sección horizontal de la hipófisis de un ratón adulto que muestra la presencia de numerosas células NPY-ir en el lóbulo anterior (HRP-CI-Naftol 220x).

f.- Sección sagital de la hipófisis de un posnatal en el estadio P.5 que muestra la presencia de las primeras células NPY-ir (➤) en el lóbulo anterior (HRP-CI-Naftol 160x).

LA: Lóbulo anterior.

LI: Lóbulo intermedio.

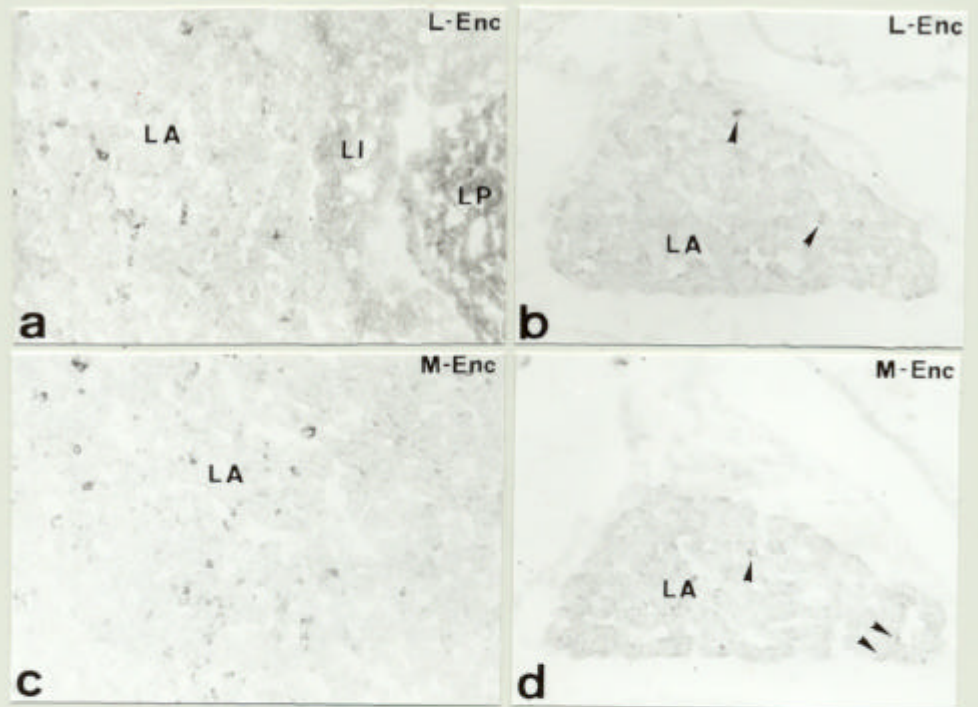


Fig 26

FIGURA 26

Ontogenia de Péptidos en células hipofisarias.

a.- Sección horizontal de la hipófisis de un ratón adulto que muestra la presencia de numerosas células L-Enc-ir en el lóbulo anterior. Obsérvese la presencia de inmunorreacción en el lóbulo posterior (LP). (HRP-CI-Naftol 220x).

b.- Sección sagital de la hipófisis de un posnatal en el estadio P.5 que muestra la presencia de las primeras células L-Enc-ir (➤) en el lóbulo anterior. (HRP-CI-Naftol 160x).

c.- Sección horizontal de la hipófisis de un ratón adulto que muestra la presencia de numerosas células M-Enc-ir en el lóbulo anterior. (HRP-CI-Naftol 220x).

d.- Sección sagital de la hipófisis de un posnatal en el estadio P.5 que muestra la presencia de las primeras células M-Enc-ir (➤) en el lóbulo anterior. (HRP-CI-Naftol 160x).

LA: Lóbulo anterior.

LI: Lóbulo intermedio.

LP: Lóbulo posterior.

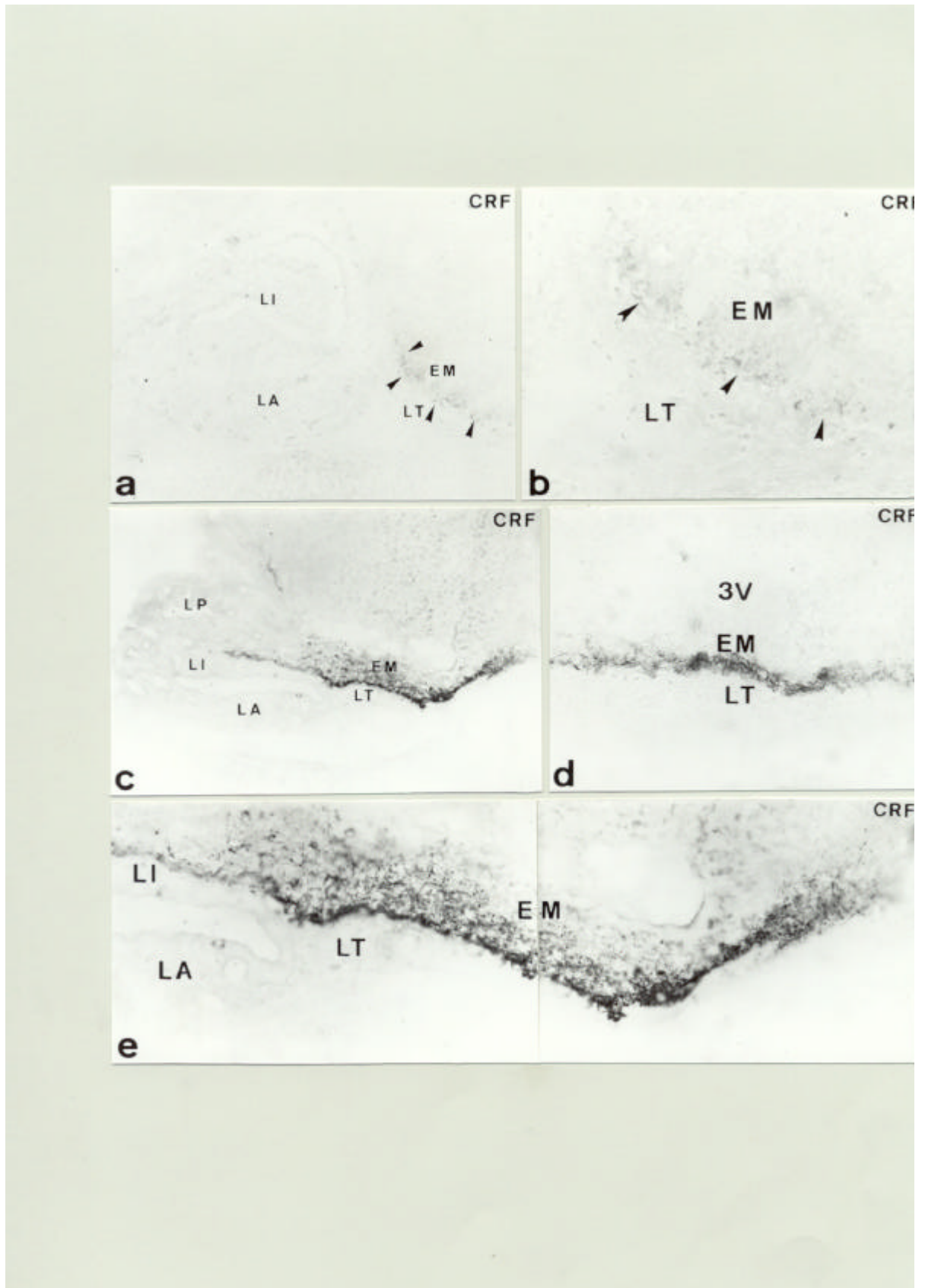


Fig 27

FIGURA 27

Ontogenia de Factores Liberadores en la Eminencia Media.

a.- Sección sagital de la hipófisis en el estadio E.15 que muestra la presencia de las primeras fibras CRF-ir (➤) en la zona externa de la eminencia media (HRP-CI-Naftol 220x).

b.- Detalle de la imagen anterior que muestra las fibras CRF-ir (➤) en la zona externa de la eminencia media (HRP-CI-Naftol 440x).

c.- Sección sagital de la hipófisis en el estadio E.18 que muestra numerosas fibras CRF-ir a lo largo de toda la zona externa de la eminencia media (HRP-CI-Naftol 180x).

d.- Detalle en sección transversal de la eminencia media en el estadio E.18 que muestra la presencia de fibras CRF-ir (HRP-CI-Naftol 420x).

e.- Detalle en sección sagital en el estadio E.18 que muestra una gran densidad de fibras CRF-ir a lo largo de toda la eminencia media (HRP-CI-Naftol 460x).

EM: Eminencia media.

LA: Lóbulo anterior.

LI: Lóbulo intermedio.

LT: Lóbulo tuberal.

LP: Lóbulo posterior.

3V: Tercer ventrículo.

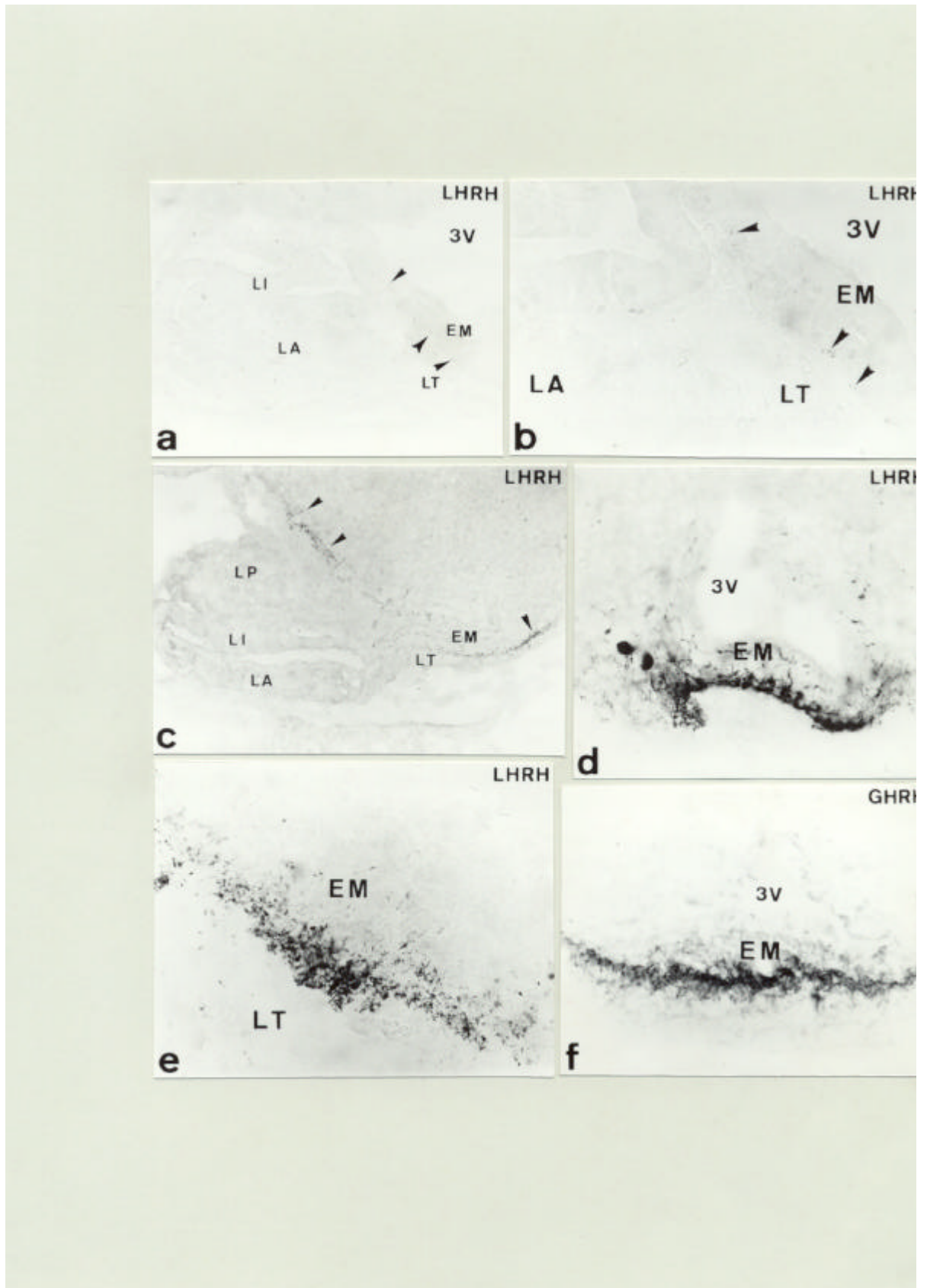


Fig 28

FIGRA 28

Ontogenia de Factores Liberadores en la Eminencia Media.

a.- Sección sagital de la hipófisis en el estadio E.16 que muestra la presencia de las primeras fibras LHRH-ir (➤) en la zona externa de la eminencia media (HRP-CI-Naftol 220x).

b.- Detalle de la imagen anterior que muestra las fibras LHRH-ir (➤) en la zona externa de la eminencia media (HRP-CI-Naftol 440x).

c.- Sección sagital de la hipófisis en el estadio E.17 que muestra la presencia de numerosas fibras LHRH-ir (➤) en toda la zona externa de la eminencia media (HRP-CI-Naftol 180x).

d,e.- Detalles en sección transversal y sagital respectivamente de un posnatal en el estadio P. 5 que muestra una gran densidad de fibras LHRH-ir en la zona externa de la eminencia media (HRP-CI-Naftol 440x).

f.- Detalle en sección transversal de un posnatal en el estadio P.7 que muestra la presencia de fibras GHRH-ir en la zona externa de la eminencia media (HRP-CI-Naftol 420x)

EM: Eminencia media.

LA: Lóbulo anterior.

LI: Lóbulo intermedio.

LT: Lóbulo tuberal.

LP: Lóbulo posterior.

3V: Tercer ventrículo.

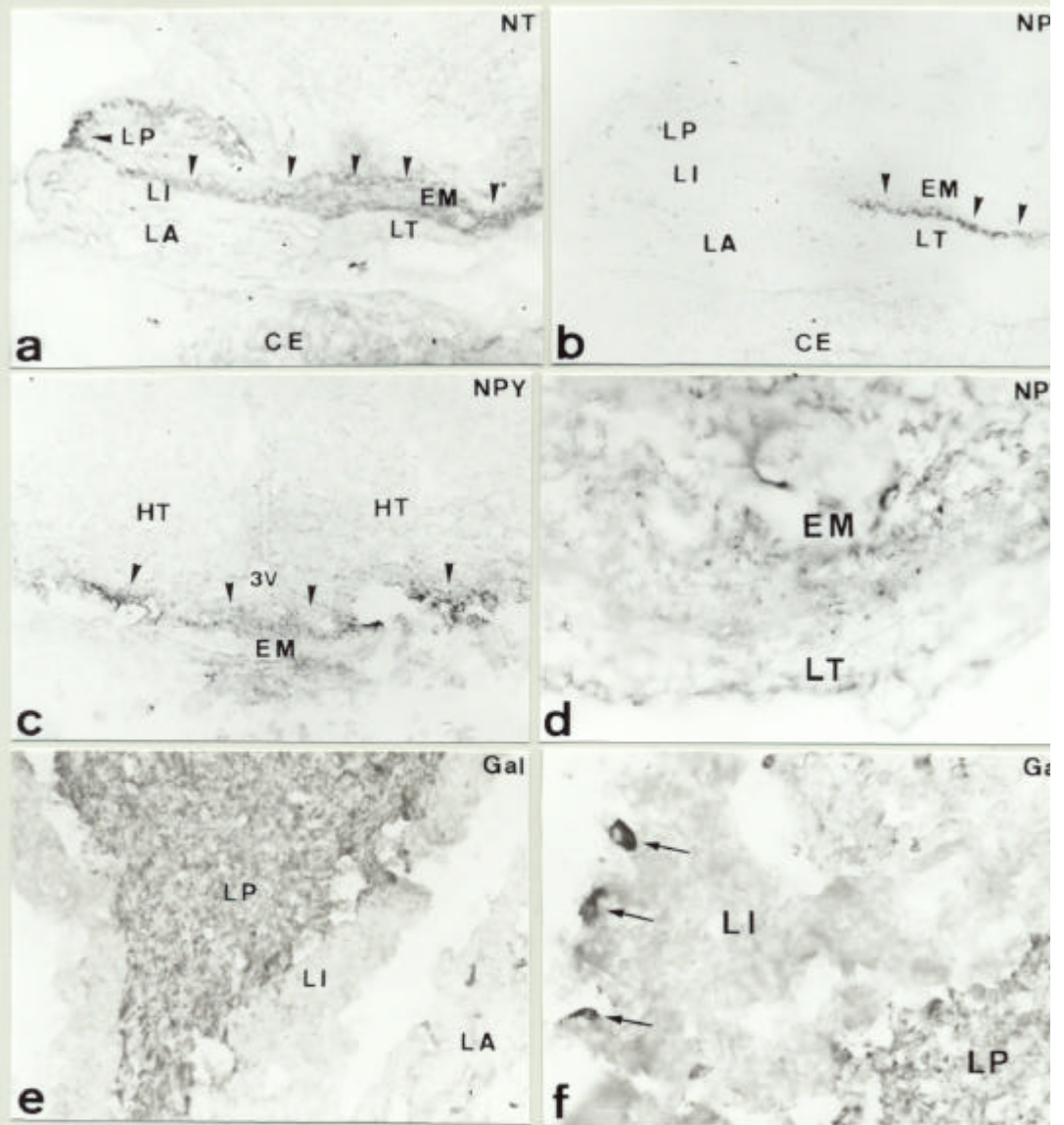


Fig 29

FIGURA 29

Ontogenia de Péptidos en la Eminencia Media.

a.- Sección sagital de la hipófisis en el estadio E.18 que muestra la presencia de fibras NT-ir (➤) a lo largo de toda la eminencia media y en el lóbulo posterior (HRP-CI-Naftol 180x).

b.- Sección sagital de la hipófisis en el estadio E.18 que muestra la presencia de fibras NPY-ir (➤) en la zona externa de la eminencia media (HRP-CI-Naftol 180x).

c.- Sección transversal en un posnatal en el estadio P.5 que muestra fibras NPY-ir (➤) a lo largo de toda la zona externa de la eminencia media (HRP-CI-Naftol 160x).

d.- Detalle en sección transversal de un posnatal en el estadio P.21 que muestra fibras NPY-ir en la zona externa de la eminencia media (HRP-CI-Naftol 460x).

e,f.- Detalles en sección horizontal de la hipófisis de un ratón adulto que muestra la presencia de numerosas fibras Gal-ir en todo el lóbulo posterior. Obsérvese la presencia de células Gal-ir en el lóbulo intermedio (➔) (HRP-CI-Naftol) e (340x) f (520x).

EM: Eminencia media.

HT: Hipotálamo.

LA: Lóbulo anterior.

LI: Lóbulo intermedio.

LT: Lóbulo tuberal.

LP: Lóbulo posterior.

3V: Tercer ventrículo.